

## 3次元表面密度噴流の流れ特性について(第2報)

SATO, K.

九州大学 工学部 正員 横東一郎  
九州大学 工学部 正員○小松利光

## 1. まえがき

海面上に放出された温排水の拡がりや河口における河川水の拡散問題については噴流モデルによる理論的研究が活発に行なわれ、多くの知見が得られている。前報で著者は水平方向の進行係数 $E = \text{const}$ の仮定のもとに横分モーメント法の概念を用いた解析を行ない、拡散幅や表面浮力、表面流速などの噴流特性量を flow force  $M_0$ 、浮力 flux  $N_0$ で無次元化した一般的な表示式を得たが、今回新たに $E$ を規定する式として $\gamma$ に沿う運動方程式の一次モーメント式を用いた解析を行ない、実験結果をより良く説明し得る理論解を得たので報告する。

## 2. 理論的解析

$x$ 方向、 $y$ 方向の運動方程式および拡散方程式は単位質量あたりの平均浮力を  $B = g(\rho_a - \rho) / \rho_a$  として次のようにある。

$$\frac{\partial U^2}{\partial x} + \frac{\partial VU}{\partial y} + \frac{\partial WU}{\partial z} = -\frac{\partial}{\partial x} \int_{-\infty}^y Bd\zeta + \frac{\partial}{\partial y} (K_H \frac{\partial U}{\partial y}) + \frac{\partial}{\partial z} (K_V \frac{\partial U}{\partial z}) \quad (1)$$

$$\frac{\partial UV}{\partial x} + \frac{\partial V^2}{\partial y} + \frac{\partial WV}{\partial z} = -\frac{\partial}{\partial y} \int_{-\infty}^y Bd\zeta + \frac{\partial}{\partial x} (K_H \frac{\partial V}{\partial x}) + \frac{\partial}{\partial z} (K_V \frac{\partial V}{\partial z}) + \frac{\partial}{\partial y} (\bar{w}^2 - \bar{v}^2) \quad (2)$$

$$\frac{\partial WB}{\partial x} + \frac{\partial VB}{\partial y} + \frac{\partial WB}{\partial z} = -\frac{\partial \bar{v}b}{\partial y} - \frac{\partial \bar{w}b}{\partial z} \quad (3)$$

$$U = U_c f_1(\eta) \cdot f_2(\zeta), \quad B = B_c m_1(\eta) m_2(\zeta), \quad \eta = y / s, \quad \zeta = z / h \quad (4)$$

噴流表面拡散幅 $s$ 、噴流水深 $h$ はそれぞれ $B$ が噴流中心線上表面浮力 $B_c$ の $1/\alpha$ とより点までの中心潮からの距離 $\eta$ で定義する。また、 $y$ 方向の水平進行速度を  $V_e$  とすと $y$ 方向の水平進行係数 $E$ を用いて次のように表わされる。

$$V_e = E U_c f_2(\zeta) \quad (5)$$

連続の式を  $y=0 \sim y$ ,  $z=0 \sim \infty$  の範囲で積分すると若干の計算の後、 $V = V_s f_3(\zeta)$  ( $V_s$  は $y$ 方向の表面流速)として  $V = \left\{ \frac{I_2}{I_3} U_c \frac{ds}{dx} \eta f_1 - \frac{I_2}{I_1 I_3} E U_c F(\eta) \right\} f_3(\zeta) \quad (6)$  ここで  $I_1 = \int_0^\infty f_1 d\eta$ ,  $I_2 = \int_0^\infty f_2 d\zeta$ ,  $I_3 = \int_0^\infty f_3 d\zeta$ ,  $F(\eta) = \int_0^\eta f_1 d\eta$

と表わされる。決定すべき未知数は  $U_c$ ,  $S$ ,  $h$ ,  $E$ ,  $B_c$  の5個であり、式(1), (3)を  $z=0 \sim \infty$ ,  $y=0 \sim \infty$  で積分して得られる式、および(1)× $U$ , (2)× $V$ 、さらに $E$ を規定する式として(1)× $y$ を同様に  $z=0 \sim \infty$ ,  $y=0 \sim \infty$  で積分して求めた横分モーメント式が基礎式となる。水平鉛直方向の運動粘性係数および $\bar{w}^2 - \bar{v}^2$ は前報と同様におく。また flow force  $M_0$ 、浮力 flux  $N_0$ が深さをもつ流れであるから、噴流特性量を  $M_0$ ,  $N_0$  で無次元化する。 $H = \frac{N_0^{1/2} h}{M_0^{3/4}}$ ,  $\Delta \equiv \frac{N_0^{1/2} S}{M_0^{3/4}}$ ,  $\zeta \equiv \frac{N_0^{1/2} z}{M_0^{3/4}}$ ,  $\bar{B} \equiv \frac{N_0^{1/2}}{M_0^{3/4} B_c}$   $\quad (7)$

3次元密度噴流における浮力効果の程度を表す overall Richardson 数として  $R_i = N_0 / (2 S U^2)$  を導入すると(1), (3)の積分は(7)を用いてそれぞれ次のように表わされる。

$$\Delta H = \frac{r_i R_i^{3/2}}{1 + r R_i} \quad (8)$$

$$\bar{B} = r_0 \frac{\Delta^{1/2} R_i^{1/2}}{1 + r R_i} \quad (9)$$

同様に式(1)× $U$ , 式(2)× $V$ , 式(1)× $y$ の積分式(6), (7)を用いて次のようになる。

$$\frac{d}{dz} \left[ \frac{H}{R_i} \right] = -r_2 \frac{dH}{dz} + R_i H \Delta \frac{d}{dz} \left[ \frac{1}{R_i \Delta} \right] - r_4 \frac{H}{\Delta} \frac{d\Delta}{dz} - r_5 x_1 \frac{1}{R_i \Delta} - r_6 k_2 \frac{x_1}{R_i} \frac{1}{R_i} \quad (10)$$

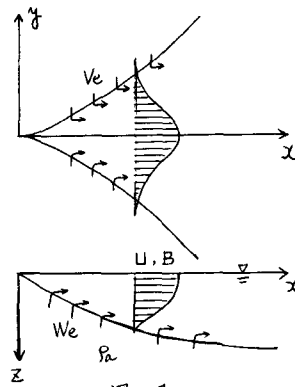


図-1

$$r_7 \frac{d}{ds} \left[ \frac{H}{R_i} \left( \frac{d\Delta}{ds} \right)^2 \right] - r_8 \frac{d}{ds} \left[ E \frac{H}{R_i} \left( \frac{d\Delta}{ds} \right) \right] + r_9 \frac{d}{ds} \left[ E^2 \frac{H}{R_i} \right] - E^3 \frac{H}{R_i \Delta} \dots \dots (10)$$

$$= r_{10} \frac{H}{\Delta} \frac{d\Delta}{ds} - r_{11} E \frac{H}{\Delta} + r_{12} K_1 \frac{d}{ds} \left[ \Psi_2(R_i) \frac{H}{R_i} \left( \frac{d\Delta}{ds} \right) \right] - r_{13} K_2 \frac{d}{ds} \left[ \Psi_3(R_i) E \frac{H}{R_i} \right]$$

$$- r_{14} K_3 \Psi_2(R_i) \frac{\frac{3}{2} H}{R_i^{3/2}} \frac{d}{ds} \left[ \frac{1}{R_i^{1/2}} \left( \frac{d\Delta}{ds} \right) \right] + r_{15} K_4 \Psi_3(R_i) \frac{H}{R_i \Delta} \left( \frac{d\Delta}{ds} \right)^2$$

$$+ r_{16} K_5 \Psi_4(R_i) \frac{1}{R_i^{3/2}} \frac{dH}{ds} + r_{17} K_6 \Psi_5(R_i) \frac{H}{R_i^{3/2}} \frac{d\Delta}{ds} - r_{18} K_7 \Psi_6(R_i) \frac{E}{R_i} \frac{H}{\Delta} \frac{d\Delta}{ds}$$

$$- r_{19} K_8 \Psi_7(R_i) \frac{E}{R_i} \frac{dH}{ds} + r_{20} K_9 \Psi_8(R_i) \frac{H}{R_i} \frac{d\Delta}{ds} - r_{21} K_{10} \Psi_9(R_i) \frac{E}{R_i} \frac{H}{\Delta}$$

$$- r_{22} K_{11} \Psi_{10}(R_i) \frac{1}{R_i} \left( \frac{d\Delta}{ds} \right)^2 + r_{23} K_{12} \Psi_{11}(R_i) \frac{E}{R_i} \frac{d\Delta}{ds} - r_{24} K_{13} \Psi_{12}(R_i) \frac{E^2}{R_i} \dots \dots (11)$$

$$\frac{1}{R_{22}} \left\{ \frac{\Delta}{H} + r_{23} R_i \frac{d\Delta}{H} \right\} \frac{dH}{ds} + \frac{1}{R_{22}} \left\{ \frac{4}{3} - r_{21} + \frac{4}{3} r_{23} R_i \right\} \frac{d\Delta}{ds}$$

$$+ \frac{1}{R_{22}} \left\{ -\frac{2}{3} \frac{\Delta}{R_i} + \frac{1}{3} r_{23} \Delta \right\} \frac{dR_i}{ds} + E_H = -\frac{r_{24}}{R_{22}} K_{13}(R_i) \dots \dots (12)$$

ここで  $r_i \sim r_{24}$  は  $f_1 = e^{-0.9377^2}$ ,  $f_2 = f_3 = e^{-0.4933^2}$ ,  $m_1 = e^{-0.6933^2}$   
 $m_2 = e^{-0.6933^2}$  のように流速・浮力分布をともにGAUSS分布で仮定するこ  
とにより計算できる定数である。 $\Psi(R_i)$ ,  $\Psi_2(R_i)$ ,  $\Psi_3(R_i)$ ,  $\Psi_4(R_i)$ ,  $\Psi_5(R_i)$ ,  $\Psi_6(R_i)$ ,  $\Psi_7(R_i)$ ,  $\Psi_8(R_i)$ ,  $\Psi_9(R_i)$ ,  $\Psi_{10}(R_i)$ ,  $\Psi_{11}(R_i)$ ,  $\Psi_{12}(R_i)$  は3次元表面噴流の解析結果を用い  
る。上の(8)～(12)の諸式で  $R_i \rightarrow 0$  の極限が均一流体による3次  
元表面噴流の流れを規定する基礎式となり、その解は前報と同様

$H = a_1 s$ ,  $\Delta = a_2 s$ ,  $R_i = a_3 s^2$ ,  $\bar{B} = a_4 s$ ,  $E = a_5$  (13)  
と与えられる。係数  $a_1$  ～  $a_5$  は上式を式(8)～(12)に代入した式から計  
算される。

### 3. 数値計算と実験結果との比較

仮想原点  $s=0$  に3次元表面噴流のpoint source が存在すると  
して境界条件  $s=0$  で  $H=\Delta=R_i=0$ ,  $E=0.058$ ,  $d\Delta/ds=a_2$  のもとに  
式(8)～(12)の連立常微分方程式をRunge-kutta-Gill法で数値計算す  
る。 $\bar{B}$ ,  $H$ ,  $\Delta$ ,  $E$  の計算結果を図-2～5に示す。これらの理論曲線は  $s$   
= 0において均一表面噴流の式(13)に従しが増すとともに浮力の影響  
が顕著にあらわれてくる。すなわち、噴流水深は浮力の影響で押し上げ  
られてそれ程大きくはないが、代わりに横方向に大きく拡がる。

また水平方向の連行係数は浮力の影響を受けて減少し、 $\lambda = 2.72$  で零  
となため、それ以後の計算では  $E=0$  として計算を行なっている。

Jen-Wiegel, Mabarek, Tamai-Wiegel, Tornbergおよび著者ら  
の実験結果も併せて記しているが、いずれも良く一致する。図-2～5を用い  
ることにより容易に噴流特性を評価することができます。実用的意義も大  
きものと思われる。最後に本研究遂行にあたり助力願った菅原義  
・後藤俊一の両君に深甚なる謝意を表します。

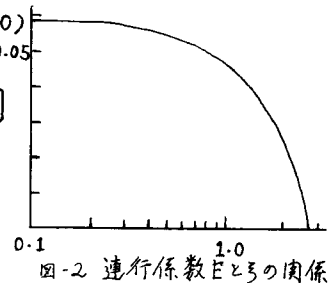


図-2 連行係数  $E$  と  $\lambda$  の関係

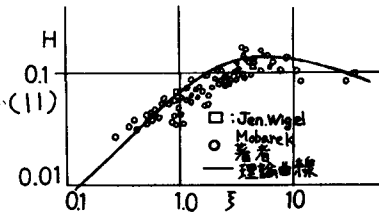


図-3 噴流水深  $H$  と  $\lambda$  の関係

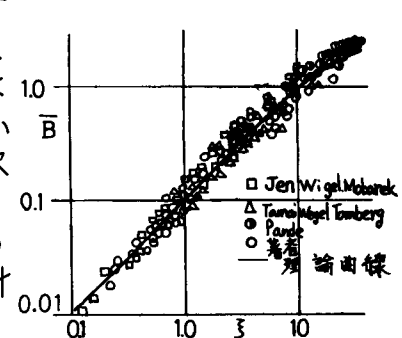


図-4 表面浮力  $\bar{B}$  と  $\lambda$  の関係

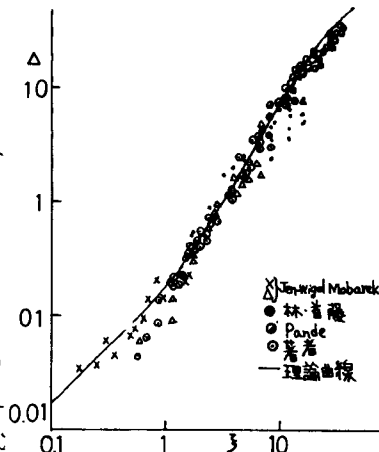


図-5 噴流幅  $\Delta$  と  $\lambda$  の関係